

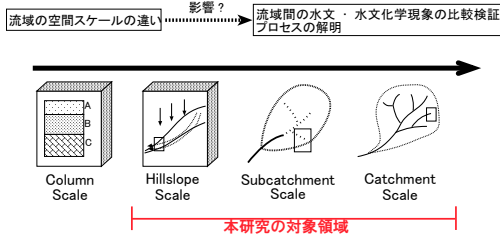
風化花崗岩流域における空間スケールの拡張に伴う水文化学過程の変化

京都大学農学研究科 ○勝山正則・大手信人・小杉賢一朗・谷誠

katuyama@kais.kyoto-u.ac.jp

はじめに

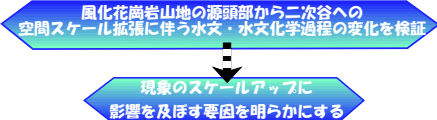
流域の空間スケールの違いは水文化学過程にどのような影響を与えるか？



空間スケール拡張の捕らえ方: REA の概念

- REA (Representative Elementary Area) concept (Wood et al., 1988)
- 降雨流出などの水文現象の発生を及ぼす土壌、地形などの水文学的な多様性を均質とみなすことのできる最小単位面積
- この面積より広い流域では同様の水文現象が発生することになる
- REA は対象とする水文現象ごとに異なる
- 水質形成の空間的多様性の考察にも用いられる (Merot and Bruneau, 1992; Lischied et al., 1998)

目的



観測地の概要

滋賀県南部桐生水文試験地の本流域及び内部支流流域 (計 6 流域)

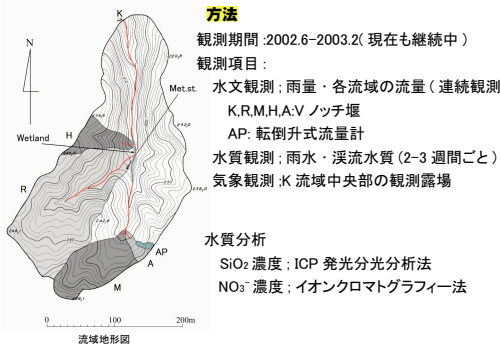
桐生流域諸元	
母材	風化花崗岩
流域面積	5.99ha
年平均降水量	1645.0mm (1972-2001年 平均値)
2002年降水量	1179.4mm
年平均気温	13.9°C
植生	ヒノキ人工林
	アマツ(源頭部流域、マツ枯れ被害)
	広葉樹(河川沿い・源頭部)
河川勾配	9.23°
備考	土砂流出防止のための砂防堰堤が多数 流域中央部の河川沿いに湿地が存在(埋没の堆砂地)

観測期間	From 2002/6/1						To 2003/2/28					
	K		R		M		H		A		AP	
期間中雨量 (mm)	5.99		1.75		0.68		0.40		0.086		0.024	
最大日雨量 (mm/day)	100		29.2		11.4		6.7		1.4		0.4	
期間中流量 (mm)	295.63		304.81		137.76		53.75		257.59		10.39 <sup>1)</sup>	
最大日流量 (mm/day)	10.33		5.70		2.68		5.47		13.13		2.30	

1) 一部欠測含む

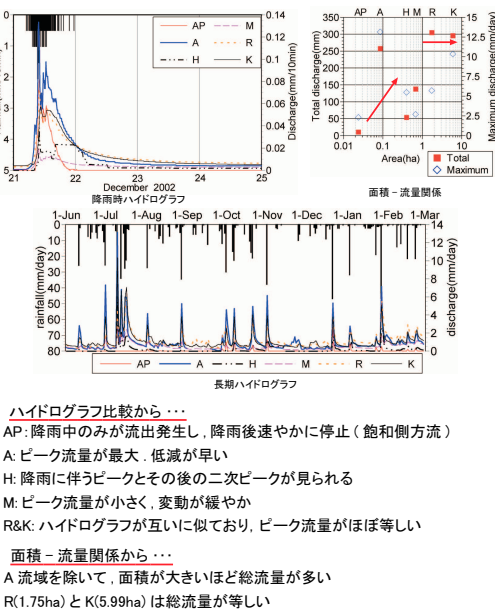
AP は A 流域内の飽和側方流観測プロット



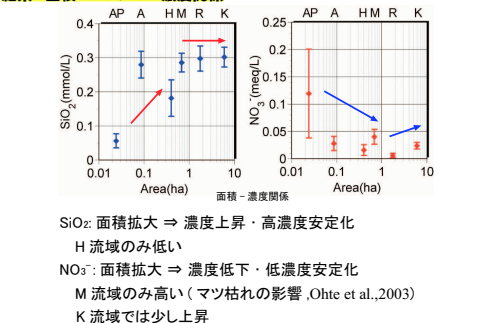
方法

- 観測期間: 2002.6-2003.2 (現在も継続中)
- 観測項目:
  - 水文観測: 雨量・各流域の流量 (連続観測)
  - K, R, M, H, A, V ノッチ堰
  - AP: 転倒升式流量計
  - 水質観測: 雨水・渓流水質 (2-3 週間ごと)
  - 気象観測: K 流域中央部の観測露場
- 水質分析:
  - SiO<sub>2</sub> 濃度: ICP 発光分光分析法
  - NO<sub>3</sub><sup>-</sup> 濃度: イオンクロマトグラフィー法

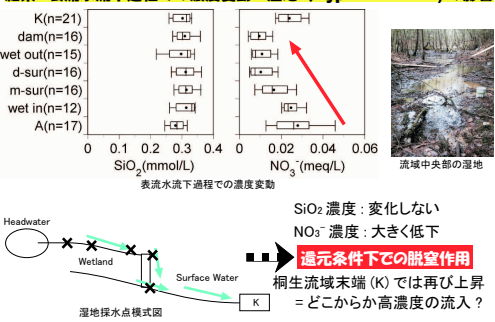
結果: ハイドログラフ比較 / 面積 - 流量関係



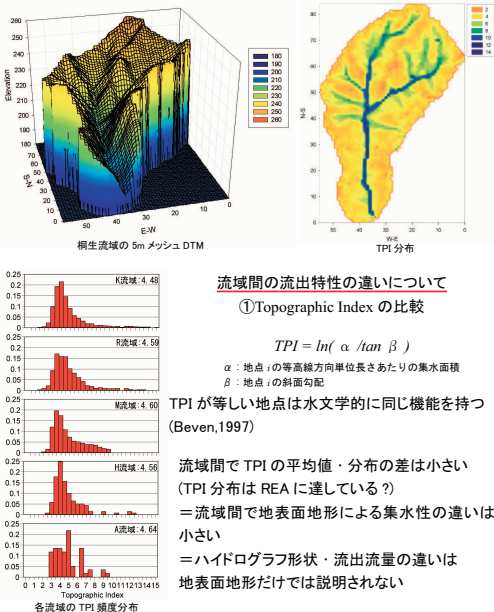
結果: 面積 - SiO<sub>2</sub>/NO<sub>3</sub><sup>-</sup> 濃度関係



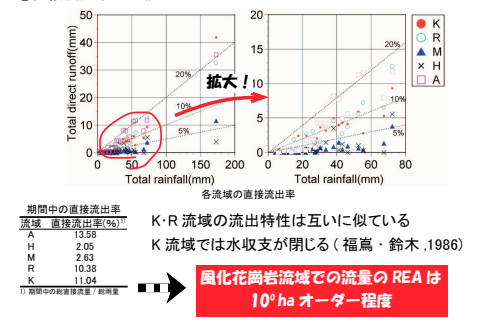
結果: 表流水流下過程での濃度変動 - 湿地 (Hyporheic zone) の影響



考察: 流出プロセスについて



② 直接流出率の比較



考察: SiO<sub>2</sub> 濃度

- a. 内部流域総面積 (A+H+M+R, 2.92ha) / K 流域面積 (5.99ha) = 48.7%
  - b. 内部流域総流量 / K 流域流量 = 37.9%
  - c. 内部流域 SiO<sub>2</sub> 流出負荷量 / K 流域 SiO<sub>2</sub> 流出負荷量 = 36.6%
  - d. 内部流域 NO<sub>3</sub><sup>-</sup> 流出負荷量 / K 流域 NO<sub>3</sub><sup>-</sup> 流出負荷量 = 18.5%
- a>b... 源頭部での基岩面以下への浸透 (Katsuyama, 2002) の影響  
b>c... SiO<sub>2</sub> の保存性  
∴ a>c... 面積拡大とともに基岩地下水が寄与, SiO<sub>2</sub> 濃度上昇  
[ ∴ 源頭部の渓流水 SiO<sub>2</sub> 濃度は高濃度の基岩地下水と低濃度の飽和側方流の混合で決定 (Katsuyama, 2002) ]

風化花崗岩流域での SiO<sub>2</sub> の REA と流量の REA

考察: NO<sub>3</sub><sup>-</sup> 濃度

- b>d... ある程度の NO<sub>3</sub><sup>-</sup> 濃度の低下 (NO<sub>3</sub><sup>-</sup> 負荷の減少)
  - A-H-M-R 流域で、面積拡大とともに NO<sub>3</sub><sup>-</sup> 濃度低下 = NO<sub>3</sub><sup>-</sup> 濃度の低い基岩地下水の寄与の増加
  - 湿地 (Hyporheic zone) の存在 = 還元条件下での脱窒による NO<sub>3</sub><sup>-</sup> の除去
- 他の要因がなければ...  
より面積の大きい K 流域ではさらに濃度が下がるはず [ ∴ a>b ]
- 実際には K 流域で再び濃度上昇  
⇒ 河川沿いの側方斜面からの流入  
流入によって流量 (比流量) は増加しない  
渓流水の NO<sub>3</sub><sup>-</sup> 濃度と比べて充分に高い  
渓流水の SiO<sub>2</sub> 濃度との濃度差は小さい

結論

- 面積と流量・SiO<sub>2</sub> 濃度 (風化由来物質) の関係
  - 10<sup>2</sup> ha オーダー程度の面積で安定化
  - 源頭部小流域では流域間のばらつきが大きい
  - 源頭部では基岩に浸透し、量水堰を通過しない地下水が多い
  - 面積拡大とともに表流水に対するこの地下水の寄与が増加
- 面積と NO<sub>3</sub><sup>-</sup> 濃度 (生物由来物質) の関係
  - 観測対象とした範囲では安定しなかった
  - 面積拡大とともに低濃度の基岩地下水の寄与による濃度低下
  - 湿地 (Hyporheic zone) 通過過程での顕著な濃度低下
  - 側方斜面 (Hillslope zone) からの流入による濃度再上昇

空間スケールの拡張



より大流域スケールへの拡張・現象のモデル化に向けて...  
各流域構成要素内での現象の把握  
対象流域における構成比率の簡便な把握

引用文献

Beven, K. (1997) TOPMODEL: A CRITIQUE. *Hydrological Processes*, 11, pp. 1069-1085.  
福島義宏, 鈴木雅一 (1986) 山地小流域を対象とした水循環モデルの提示と桐生流域への 10 年連続日・時間記録への適用. *京大演習*, 57, pp. 162-185.  
Katsuyama, M. (2002) Study on hydrochemical dynamics of groundwater and streamwater in small forested headwater catchments. Doctoral Dissertation, Kyoto University, 121pp.  
金敷水, 窪田順平, 鈴木雅一, 福島義宏 (1988) 桐生試験地の縦断面における土壌水分と地下水の変動. *京大演習*, 60, pp. 174-189.  
窪田順平 (1987) 山地源流域の流出形成機構に関する研究. 京都大学農学部学位論文 89pp.  
Lischied, G., Alewell, C., Bittensorf, J., Gottstein, A., Jungnickel, C., Lange, H., Manderscheid, B., Moritz, K., Ostendorf, B. and Sagar, H. (1998) Investigating soil and groundwater quality at different scales in a forested catchment: the Waldstein case study. *Nutrient Cycling in Agroecosystems*, 50, pp. 109-118.  
Merot, P. and Bruneau, P. (1992) Representative catchment scale from a geochemical point of view. *C. R. Acad. Sci. Ser. II*, 315, pp. 1097-1103.  
Ohte, N., Takushi, N., Katsuyama, M., Hoshino, S., Asano, Y. and Koba, K. (2003) Episodic increases in nitrate concentrations in streamwater due to the partial dieback of a pine forest in Japan: runoff generation processes control seasonality. *Hydrological Processes*, 17, pp. 237-249.  
鈴木雅一, 福島義宏, 窪田順平 (1983) 堆砂地通過による水文・地質学変化の観測とその検討. *京大演習*, 55, pp. 182-193.  
Wood, E. F., Sivapalan, M., Beven, K. and Band, L. (1988) Effects of spatial variability and scale with implications to hydrologic modeling. *J. Hydrology*, 102, pp. 29-47.

小流域では流域の地表面地形のみならず  
土層厚などの特性により流量がばらつく  
水収支が閉じない = 基岩面以下への浸透